

变厚度圆板大挠度理论的摄动法*

杨嘉实 谢志成

(清华大学, 1982年12月11日收到)

摘 要

本文用对两个小参数的摄动法, 对于轴对称圆薄板大挠度问题, 在板厚按指数规律变化、载荷为均布的情况下, 求出了三级摄动解。所得摄动解在特殊情况下与精确解的比较表明结果是较为理想的。

一、引 言

板的大挠度问题是个非线性问题, 在变厚度板的情况下, 精确解的寻求是比较困难的。钱伟长教授对等厚度板大挠度问题做过系统论述^[1]并用摄动法成功地求解了这一问题^{[2][3]}。叶开沅教授曾将摄动法用于变厚度板小挠度问题, 也得到了理想的结果^[6]。本文在导出了轴对称变厚度圆板大挠度理论的基本方程后, 对板厚按指数规律变化的情况, 用两个小参数的摄动法, 选取一个表示挠度大小的参数 W_m 和一个表示板厚变化规律的参数 β , 求出了均布载荷作用下变厚度圆板大挠度问题的三级摄动解, 并对周边固支的情况进行了具体计算。由于这一问题目前尚无精确解, 文中将所得摄动解退化到两个特殊情况, 即等厚度板大挠度问题与变厚度板小挠度问题, 与精确解进行了比较, 结果是令人满意的。

二、轴对称变厚度圆板大挠度理论的基本方程

在图1所示的符号系统下, 轴对称变厚度圆板大挠度理论的基本方程如下:

$$D \frac{d}{dr} \left\{ r \frac{d}{dr} \left[\frac{1}{r} \frac{d}{dr} \left(r \frac{dw}{dr} \right) \right] \right\} = qr + \frac{d}{dr} \left(r N_r \frac{dw}{dr} \right) - \left(r \frac{d^2 w}{dr^2} + \mu \frac{dw}{dr} \right) \frac{d^2 D}{dr^2} - \left[2r \frac{d^3 w}{dr^3} + (2 + \mu) \frac{d^2 w}{dr^2} - \frac{1}{r} \frac{dw}{dr} \right] \frac{dD}{dr} \quad (2.1)$$

$$\frac{d}{dr} \left[\frac{1}{r} \frac{d}{dr} \left(r^2 N_r \right) \right] = - \frac{Eh}{r} \left(\frac{dw}{dr} \right)^2 + \left[r \frac{dN_r}{dr} + (1 - \mu) N_r \right] \frac{1}{h} \frac{dh}{dr} \quad (2.2)$$

式中 $D = \frac{Eh^3}{12(1-\mu^2)}$, $h = h(r)$, $q = q(r)$ 。当 h 为常数时, 方程(2.1)和(2.2)即为kármán大

* 钱伟长推荐。

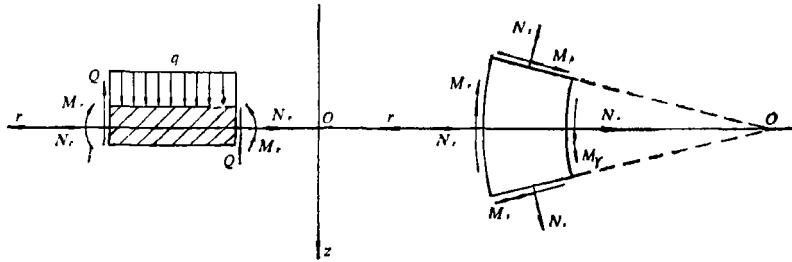


图1 内力符号及其正方向 (位移与坐标轴同向为正)

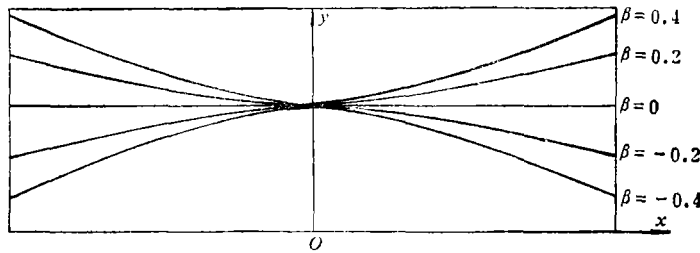
挠度方程.

设 h_0 和 λ 是两个常数, 当板厚变化规律为 $h=h_0\exp[\lambda r^2]$ 时, 方程(2.1)和(2.2)变为:

$$\begin{aligned} \frac{d}{dr} \left\{ r \frac{d}{dr} \left[\frac{1}{r} \frac{d}{dr} \left(r \frac{dw}{dr} \right) \right] \right\} &= \frac{12(1-\mu^2)}{Eh_0^3} qr \exp[-3\lambda r^2] \\ &+ \frac{12(1-\mu^2)}{Eh_0^3} \exp[-3\lambda r^2] \frac{d}{dr} \left(r N_r \frac{dw}{dr} \right) - 6\lambda \left[2r^2 \frac{d^3w}{dr^3} \right. \\ &\left. + (3+\mu)r \frac{d^2w}{dr^2} - (1-\mu) \frac{dw}{dr} \right] - 36\lambda^2 \left(r^3 \frac{d^2w}{dr^2} + \mu r^2 \frac{dw}{dr} \right) \end{aligned} \quad (2.3)$$

$$\frac{d}{dr} \left[\frac{1}{r} \frac{d}{dr} (r^2 N_r) \right] = -\frac{Eh_0}{2r} \exp[\lambda r^2] \left(\frac{dw}{dr} \right)^2 + 2\lambda \left[r^2 \frac{dN_r}{dr} + (1-\mu)r N_r \right] \quad (2.4)$$

$h=h_0\exp[\lambda r^2]$ 这一规律是Pichler所建议的^[4]. 在实际中某些变厚度板可以通过适当选取 h_0 和 λ 用这一规律来近似描述. 函数 $y=\exp[\beta x^2]$ 的图形及其随 β 变化的情况(见图2).

图2 $y=\exp[\beta x^2]$ 的图形

三、均布载荷变厚度圆板大挠度问题的摄动解

设 a 为圆板半径, 在变量置换 $r=ax$, $w=h_0W$, $N_r=\frac{Eh_0^3}{a^2}N$ 及参数替换 $p=12(1-\mu^2)$

$\frac{qa^4}{Eh_0^3}$, $\beta=\lambda a^2$ 之下, 方程(2.3)和(2.4)变为下面的无量纲形式:

$$\begin{aligned} \frac{d}{dx} \left\{ x \frac{d}{dx} \left[\frac{1}{x} \frac{d}{dx} \left(x \frac{dW}{dx} \right) \right] \right\} &= px \exp[-3\beta x^2] \\ &+ 12(1-\mu^2) \exp[-3\beta x^2] \frac{d}{dx} \left(x N \frac{dW}{dx} \right) - 6\beta \left[2x^2 \frac{d^3W}{dx^3} \right. \end{aligned}$$

$$+ (3+\mu)x \frac{d^2W}{dx^2} - (1-\mu) \frac{dW}{dx} \Big] - 36\beta^2 \left(x^3 \frac{d^2W}{dx^2} + \mu x^2 \frac{dW}{dx} \right) \quad (3.1)$$

$$\frac{d}{dx} \left[\frac{1}{x} \frac{d}{dx} (x^2 N) \right] = -\frac{1}{2x} \exp[\beta x^2] \left(\frac{dW}{dx} \right)^2 + 2\beta \left[x^2 \frac{dN}{dx} + (1-\mu)xN \right] \quad (3.2)$$

下面用两个小参数的摄动法求解方程(3.1)和(3.2), 一个摄动参数取为 β , 另一个摄动参数仿照钱伟长教授在等厚度板大挠度问题中的作法, 取为中心挠度 W_m .

在均布载荷作用下, 视 μ 为已知量, 则由方程(3.1)和(3.2)解出的 W 是自变量 x 和参量 p, β 的函数, 即 $W = W(x, p, \beta)$. 对于圆板, 最大挠度发生在 $x=0$ 处, 即 $W_m = W(0, p, \beta)$, 由此确定了 p 与 W_m, β 的关系 $p = p(W_m, \beta)$. 考虑到

$$p(-W_m, \beta) = -p(W_m, \beta) \text{ 及 } p(0, \beta) = 0$$

可设

$$p(W_m, \beta) = \alpha_0 W_m + \alpha_1 W_m \beta + \alpha_2 W_m^3 + \alpha_3 W_m \beta^2 + \dots \quad (3.3)$$

类似地, 对于 $W(x, W_m, \beta)$, 由于

$$W(x, -W_m, \beta) = -W(x, W_m, \beta) \text{ 及 } W(x, 0, \beta) = 0$$

可设

$$W(x, W_m, \beta) = W_0(x)W_m + W_1(x)W_m\beta + W_2(x)W_m^3 + W_3(x)W_m\beta^2 + \dots \quad (3.4)$$

对于 $N(x, W_m, \beta)$, 由于

$$N(x, -W_m, \beta) = N(x, W_m, \beta) \text{ 及 } N(x, 0, \beta) = 0$$

可设

$$N(x, W_m, \beta) = N_0(x)W_m^2 + N_1(x)W_m\beta + \dots \quad (3.5)$$

其中 $\alpha_0, \alpha_1, \alpha_2, \alpha_3$ 为待定常数, $W_0(x), W_1(x), W_2(x), W_3(x), N_0(x), N_1(x)$ 为待定函数.

在(3.4)式中代入 $x=0$ 可得下面一组条件:

$$W_0(0) = 1, W_1(0) = W_2(0) = W_3(0) = 0 \quad (3.6)$$

将(3.3), (3.4), (3.5)三式代入(3.1), (3.2)两式, 展开因子 $\exp[\beta x^2]$ 和 $\exp[-3\beta x^2]$, 收集等式两边关于 W_m 和 β 各次幂的系数到三次为止, 可得下面一组方程:

$$LW_0 = \alpha_0 x \quad (3.7)$$

$$LW_1 = \alpha_1 x - 3\alpha_0 x^3 - 6 \left[2x^2 \frac{d^3W_0}{dx^3} + (3+\mu)x \frac{d^2W_0}{dx^2} - (1-\mu) \frac{dW_0}{dx} \right] \quad (3.8)$$

$$GN_0 = -\frac{1}{2x} \left(\frac{dW_0}{dx} \right)^2 \quad (3.9)$$

$$LW_2 = \alpha_2 x + 12(1-\mu^2) \frac{d}{dx} \left(xN_0 \frac{dW_0}{dx} \right) \quad (3.10)$$

$$LW_3 = \alpha_3 x - 3\alpha_1 x^3 + \frac{9}{2} \alpha_0 x^5 - 6 \left[2x^2 \frac{d^3W_1}{dx^3} + (3+\mu)x \frac{d^2W_1}{dx^2} - (1-\mu) \frac{dW_1}{dx} \right] - 36 \left(x^3 \frac{d^2W_0}{dx^2} + \mu x^2 \frac{dW_0}{dx} \right) \quad (3.11)$$

$$GN_1 = -\frac{1}{2x} \left[2 \frac{dW_0}{dx} \frac{dW_1}{dx} + x^2 \left(\frac{dW_0}{dx} \right)^2 \right] + 2 \left[x^2 \frac{dN_0}{dx} + (1-\mu)xN_0 \right] \quad (3.12)$$

$$\text{式中 } L = \frac{d}{dx} \left\{ x \frac{d}{dx} \left[\frac{1}{x} \frac{d}{dx} \left(x \frac{d}{dx} \right) \right] \right\}, \quad G = \frac{d}{dx} \left[\frac{1}{x} \frac{d}{dx} (x^2) \right]$$

方程 (3.7) ~ (3.12) 也可由下面方式得到:

在方程 (3.1) 和 (3.2) 中先对 W_m 摄动得到一组小挠度变厚度板的方程, 再对这组方程中的每一个方程对 β 摄动.

对于圆板, 在板中心处有下列边界条件:

$$\left(\frac{1}{x} \frac{dW_0}{dx} \right)_{x=0}, \left(\frac{1}{x} \frac{dW_1}{dx} \right)_{x=0}, \left(\frac{1}{x} \frac{dW_2}{dx} \right)_{x=0}, \left(\frac{1}{x} \frac{dW_3}{dx} \right)_{x=0} \text{ 有限} \quad (3.13)$$

$$N_0(0), N_1(0) \text{ 有限} \quad (3.14)$$

方程 (3.7) ~ (3.12) 在条件 (3.6), (3.13), (3.14) 下的解为:

$$W_0 = \frac{\alpha_0}{64} x^4 + \frac{C_1}{4} x^2 + 1 \quad (3.15)$$

$$W_1 = -\frac{21+3\mu}{1152} \alpha_0 x^6 + \frac{\alpha_1 - 6(1+\mu)C_1}{64} x^4 + \frac{C_2}{2} x^2 \quad (3.16)$$

$$N_0 = -\frac{\alpha_0^2}{24576} x^6 - \frac{\alpha_0 C_1}{768} x^4 - \frac{C_1^2}{64} x^2 + \frac{C_3}{2} \quad (3.17)$$

$$W_2 = \frac{H_1}{1440} x^{12} + \frac{H_2}{800} x^{10} + \frac{H_3}{384} x^8 + \frac{H_4}{144} x^6 + \frac{H_5}{32} x^4 + \frac{C_4}{4} x^2 \quad (3.18)$$

$$W_3 = \frac{Q_1}{2048} x^8 + \frac{Q_2}{576} x^6 + \frac{Q_3}{64} x^4 + \frac{C_5}{4} x^2 \quad (3.19)$$

$$N_1 = \frac{M_1}{80} x^6 + \frac{M_2}{48} x^4 + \frac{M_3}{24} x^2 + \frac{M_4}{8} x^2 + \frac{C_6}{2} \quad (3.20)$$

式中 $H_1, H_2, H_3, H_4, H_5, Q_1, Q_2, Q_3, M_1, M_2, M_3, M_4$ 均为引入的记号, 它们与十个需要由板边缘 ($x=1$) 处的边界条件确定的积分常数 $C_1, C_2, C_3, C_4, C_5, C_6$, 和待定常数 $\alpha_0, \alpha_1, \alpha_2, \alpha_3$ 间有如下关系:

$$H_1 = -\frac{1-\mu^2}{32768} \alpha_0^3, \quad H_2 = -\frac{5}{4096} (1-\mu^2) \alpha_0^2 C_1$$

$$H_3 = -\frac{5}{256} (1-\mu^2) \alpha_0 C_1^2, \quad H_4 = \frac{3}{32} (1-\mu^2) (4C_3 \alpha_0 - C_1^3)$$

$$H_5 = 3(1-\mu^2) C_1 C_3 + \frac{\alpha_2}{2}, \quad Q_1 = \frac{\alpha_0}{16} (9\mu^2 + 108\mu + 531)$$

$$Q_2 = -\frac{21+3\mu}{2} \alpha_1 + 9(1+\mu)(3+\mu) C_1, \quad Q_3 = \alpha_3 - 6(1+\mu) C_2$$

$$M_1 = \frac{53+13\mu}{12288} \alpha_0^2, \quad M_2 = -\frac{\alpha_0 \alpha_1}{256} + \frac{13}{384} (1+\mu) \alpha_0 C_1$$

$$M_3 = -\frac{1}{32} (\alpha_0 C_2 + \alpha_1 C_1) + \frac{7\mu-1}{32} C_1^2, \quad M_4 = -\frac{C_1 C_2}{4} + (1-\mu) C_3$$

四、周边固支时的计算结果及分析

利用周边固支的边界条件

$$W_0(1) = W_1(1) = W_2(1) = W_3(1) = 0$$

$$\left(\frac{dW_0}{dx}\right)_{x=1} = \left(\frac{dW_1}{dx}\right)_{x=1} = \left(\frac{dW_2}{dx}\right)_{x=1} = \left(\frac{dW_3}{dx}\right)_{x=1} = 0$$

$$\left[x \frac{dN_0}{dx} + (1-\mu)N_0\right]_{x=1} = \left[x \frac{dN_1}{dx} + (1-\mu)N_1\right]_{x=1} = 0$$

可定出 (3.15) ~ (3.20) 式中的积分常数如下:

$$\alpha_0 = 64,$$

$$\alpha_1 = \frac{16}{3}(19-5\mu)$$

$$\alpha_2 = \frac{8}{45}(1+\mu)(173-73\mu),$$

$$\alpha_3 = \frac{1}{9}(\mu^2 - 292\mu + 715)$$

$$C_1 = -8,$$

$$C_2 = -\frac{2}{3}(7+\mu)$$

$$C_3 = \frac{5-3\mu}{3(1-\mu)},$$

$$C_4 = \frac{2}{45}(1+\mu)(29-19\mu)$$

$$C_5 = -\frac{1}{72}(7\mu^2 - 28\mu + 109),$$

$$C_6 = \frac{1}{720}(-69\mu^2 + 592\mu - 219)$$

从而得到 p 与 W_m , β 的关系为:

$$p = 64W_m + \frac{16}{3}(19-5\mu)W_m\beta + \frac{5}{48}(1+\mu)(173-73\mu)W_m^3 + \frac{1}{9}(\mu^2 - 292\mu + 715)W_m\beta^2 \quad (4.1)$$

当 $\mu=0.3$ 时, (4.1) 式成为:

$$\frac{a^4 q}{h_0^4 E} = 5.861W_m + 8.574W_m\beta + 3.198W_m^3 + 6.385W_m\beta^2 \quad (4.2)$$

利用 (4.2) 式, 对不同 β 值画出 $\frac{a^4 q}{h_0^4 E}$ 与 W_m 的关系如图 3 所示. 由图中可见 (4.2) 式所反映的 β 对挠度的影响是合理的, 并且 β 对挠度的影响也是比较大的.

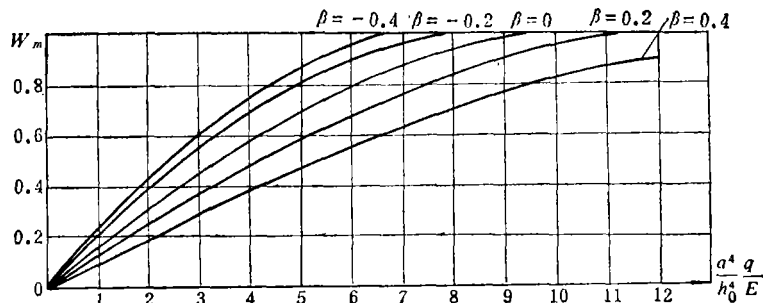


图 3

下面分析两个特殊情况。

1. $\beta=0$, 即等厚度板的大挠度问题。这时 (4.1) 式成为

$$\frac{3}{16}(1-\mu^2)\frac{a^4q}{h_0^4E} = W_m + \frac{1}{360}(1+\mu)(173-73\mu)W_m^3 \quad (4.3)$$

这正是钱伟长教授的等厚度板大挠度问题的摄动解。

2. $W_m^n=0$ ($n \geq 2$), 即变厚度板小挠度问题, 这时 (4.1) 式成为

$$6(1-\mu^2)\frac{a^3q}{h_0^3E} = 32\left(\frac{h_0}{a}W_m\right) - 7.778\left(\frac{h_0}{a}W_m\right)(-6\beta) + 0.9684\left(\frac{h_0}{a}W_m\right)(-6\beta)^2 \quad (4.4)$$

(4.4) 式与 Pichler 的精确解的比较结果如表 1 所示, 由表中可见当 $-3 < -6\beta < 2$, 即 $-\frac{1}{3} < \beta < \frac{1}{2}$ 时相对误差不超过 3%, 这说明 (4.4) 式为较理想的摄动解。

表 1

-6β	-3	-2	-1	1	2
$\frac{h_0W_m}{a}$	0.0152	0.0192	0.0246	0.0398	0.0505
$6(1-\mu^2)\frac{a^3q}{h_0^3E}$ (摄动解)	0.9735	0.9874	1.0024	1.0026	1.0261
$6(1-\mu^2)\frac{a^3q}{h_0^3E}$ (精确解)	1	1	1	1	1

(4.1) 式在两种特殊情况下的 (4.3) 和 (4.4) 式都具有较好的准确程度, 从而可以指望 (4.1) 式本身也具有较好的准确程度。

五、结 语

用两个参数进行摄动, 可以使摄动后的方程较原方程有较大简化, 从而有可能处理较为复杂的问题。本文结果表明这一方法在变厚度圆板大挠度问题中是切实可行的。

本文的方法和结果不难推广和应用到板厚按其它规律变化, 或载荷为其它形式, 或环板的情况, 它们的解可从方程 (2.1) 和 (2.2) 开始用类似的方法寻求。

对板厚按指数规律变化的圆板在均布载荷作用下的周边非固支情况, 可直接应用 (3.15) ~ (3.20) 式根据具体边界条件确定积分常数, 从而得到该问题的解。

如要提高精度, 或要研究 $|\beta|$ 较大的情况, 继续计算 W_m 和 β 的高次幂项可能得到较好的结果, 这一点在变厚度板小挠度问题的摄动法中已得到证实。

参 考 文 献

- [1] 钱伟长, 轴对称圆薄板在大挠度情形下的一般理论, 钱伟长等编著《弹性圆薄板大挠度问题》, 中国科学院 (1954).
- [2] 钱伟长, 圆板大挠度理论的摄动法, 钱伟长等编著《弹性圆薄板大挠度问题》, 中国科学院 (1954).
- [3] Chien Wei-zang, Large deflection of a circular plate under uniform pressure, *Chinese Journal of Physics*, 7, 2(1947).
- [4] 铁摩辛柯, S., 《板壳理论》, 科学出版社 (1977).
- [5] 钱伟长, 《奇异摄动理论及其在力学中的应用》, 科学出版社 (1981).

Perturbation Method in the Problem of Large Deflections of Circular Plates with Nonuniform Thickness

Yang Chia-shih Xie Zhi-cheng

(Qinghua University, Beijing)

Abstract

In this paper the perturbation method about two parameters is applied to the problem of large deflections of a circular plate with exponentially varying thicknesses under uniform pressure. An asymptotic solution up to the third-order is derived. In comparison with the exact solutions in special cases, the asymptotic solution shows a precise accuracy.